

C341.2г
9Р-716

18/7-70

P7 - 5108

Г.Н. Флеров, Ю.Ц. Оганесян, Ю.В. Лобанов,
Ю.А. Лазарев, В.И. Кузнецов, С.П. Третьякова

ИЗУЧЕНИЕ
ЗАКОНОМЕРНОСТЕЙ ОБРАЗОВАНИЯ
СПОНТАННО ДЕЛЯЩЕГОСЯ ИЗОТОПА
105 ЭЛЕМЕНТА

P7 - 5108

Г.Н. Флеров, Ю.Ц. Оганесян, Ю.В. Лобанов,
Ю.А. Лазарев, В.И. Кузнецов, С.П. Третьякова

8333/2
изучение
закономерностей образования
спонтанно делящегося изотопа
105 элемента

В конце 1969 года нами были проведены первые эксперименты по поиску спонтанного деления изотопов I05 элемента [1]. При облучении мишени ^{243}Am ионами ^{22}Ne был обнаружен излучатель осколков спонтанного деления с периодом полураспада около 2 сек. Для того, чтобы ограничить круг реакций, которые могут привести к образованию ядер с подобными свойствами, использовался коллимационный метод [2], применявшийся ранее при изучении механизма образования курчатовия [3]. Наряду с этим были определены экспериментально верхние границы парциальных периодов полураспада относительно спонтанного деления изотопов I03 элемента с массовыми числами 256 и 257, а также проведена серия опытов, на основе которых был дан анализ многих других возможных реакций. Все эти результаты изложены в работе [1].

Исходя из этих результатов, а также экспериментальных данных, полученных ранее при изучении свойств изотопов с $Z = 102, 103$ и 104 , мы пришли к заключению, что спонтанно делящийся продукт с $\tau_{1/2} \sim 2$ сек. образуется в реакции полного слияния взаимодействующих ядер и поэтому имеет атомный номер I05.

В настоящей работе, для дополнительной идентификации нового изотопа с $\tau_{1/2} \sim 2$ сек., исследовалась зависимость сечения его образования от энергии бомбардирующих ионов ^{22}Ne . При облучении ^{243}Am ионами ^{22}Ne изотопы I05 элемента могут быть получены только в реакции, приводящей к образованию возбужденного составного ядра с последующим испарением нейтронов. Известно, что если такой процесс имеет место, то, согласно статистической модели, зависимость выхода изотопа с данным массовым числом от энергии возбуждения составного ядра имеет характерное распределение, близ-

кое к гауссовой кривой. Так как заряд, масса и энергия возбуждения составного ядра хорошо определены, то положение максимума и ширина кривой возбуждения свидетельствуют о количестве испарившихся нейтронов, а следовательно, и о массовом числе конечного продукта [4]. Однако из-за наличия высокого кулоновского барьера реакции и большой делимости составного ядра ($\Gamma_n/\Gamma_f \ll 1$) функции возбуждения в действительности оказываются заметно искаженными по сравнению с тем, что имеет место для неделяющихся ядер. Поэтому при анализе экспериментальных результатов мы будем пользоваться данными полуземпирических расчетов, проведенных в работе [5].

Для сопоставления экспериментальных и расчетных данных был поставлен модельный опыт по измерению функции возбуждения изотопа $^{252}\text{I}02$, образующегося в реакции $^{235}\text{U}(^{22}\text{Ne}, 5n)^{252}\text{I}02$. Свойства изотопа $^{252}\text{I}02$ хорошо известны: согласно [3,6], он примерно в 1/3 доле случаев распада испытывает спонтанное деление с периодом $2,4 \pm 0,2$ сек. Эксперименты проводились на установке, описанной ранее в работе [3].

Мишень из ^{235}U (^{235}U - 89,8%; ^{234}U - 1,3%) толщиной 990 мкг/см² и площадью 4,5 см² бомбардировалась пучком ионов ^{22}Ne интенсивностью $\sim 5 \cdot 10^{12}$ част./сек. Продукты реакции попадали на сборник в виде "бесконечной" никелевой ленты толщиной 50 микрон и длиной 8 м, движущейся со скоростью 28 см/сек. (рис. I). Осколки деления регистрировались с помощью специальных фосфатных стекол, расположенных вдоль всей длины ленты. После облучения стекла подвергались химической обработке и определялось число треков осколков спонтанного деления [7].

Энергия ионов ^{22}Ne варьировалась в пределах 110-140 Мэв с помощью алюминиевых поглотителей. Энергетический разброс ионов

составляет, по нашим оценкам, величину не более 2 Мэв. Мониторирование потока ионов производилось по наведенной γ -радиоактивности от распада ^{75}Se ($\tau_{1/2} = 120$ дн. $\epsilon_\gamma = 121, 136, 265, 280$ и 401 кэв) [8], образующегося при взаимодействии ^{22}Ne с Ni лентой-сборником ядер отдачи.

На рис. 2 представлена функция возбуждения для реакции $^{235}\text{U}(^{22}\text{Ne}, 5n)^{252}\text{I}02$. Экспериментальные точки хорошо согласуются с расчетным распределением (пунктирная кривая). Положение максимума кривой соответствует энергии ионов 117 Мэв, ширина на полувысоте составляет 11 Мэв. Величина сечения, соответствующая максимуму функции возбуждения, составляет $(1,1 \pm 0,3) \cdot 10^{-32}$ см² для ветви спонтанного деления. Для определения положения кривой относительно кулоновского барьера реакции нами было измерено также в рабочих условиях сечение деления $^{235}\text{U}(^{22}\text{Ne}, f)$, которое в этой области энергий практически совпадает с сечением образования составного ядра [9]. Зависимость $\sigma_f(E_i)$ хорошо согласуется с расчетным значением [10] и экспериментальными данными работы [11]. При энергии кулоновского барьера $E_{bar}^a = 104$ Мэв (что соответствует сечению деления $\sigma_f = 10$ мб) максимум функции возбуждения реакции $^{235}\text{U}(^{22}\text{Ne}, 5n)^{252}\text{I}02$ смещен относительно барьера на величину 14 Мэв, что также хорошо согласуется с расчетным значением.

В последующих экспериментах для измерения функции возбуждения изотопа с $\tau_{1/2} \sim 2$ сек. мишень ^{235}U была заменена на мишень из ^{243}Am (^{243}Am - 97%, ^{241}Am - 3%) толщиной 980 мкг/см² и площадью 4,5 см². Все остальные условия опыта (скорость движения ленты, набор Al - поглотителей, интенсивность пучка и т.д.) были такими же, как в опытах по изучению реакции

$^{235}\text{U} (^{22}\text{Ne}, 5n)^{252}\text{I}_{02}$.

Энергия ионов ^{22}Ne варьировалась от 110 до 130 Мэв. Общее число зарегистрированных осколков составляло ~ 300 ; их временное распределение представлено на рис. 3. Из рисунка видно, что период полураспада спонтанно делящегося излучателя составляет $\tau_{1/2} = 2,2 \pm 0,5$ сек. Функция возбуждения для изотопа с $\tau_{1/2} \sim 2$ сек приведена на рис. 4. Пунктирной линией показаны расчетные кривые, соответствующие испарению 4 и 5 нейтронов в реакции $^{243}\text{Am}(^{22}\text{Ne}; 4n - 5n)^{261,260}\text{I}_{05}$. На этом же рисунке показана также измеренная нами энергетическая зависимость сечения деления ^{243}Am под действием ионов ^{22}Ne .

Из рисунка 4 видно, что функция возбуждения имеет максимум при энергии 117 Мэв с шириной на полувысоте 8 Мэв.

Положение максимума кривой относительно кулоновского барьера реакции $E_{\text{lab}}^* = 106$ Мэв ($G_f = 10$ мб) смещено на величину 11 Мэв.

Характер функции возбуждения, приведенной на рис. 4, является, по нашему мнению, прямым указанием того, что наблюдаемый новый излучатель спонтанного деления образуется через составное ядро с последующим испарением нейтронов и, следовательно, имеет атомный номер 105. В реакции $^{243}\text{Am}(^{22}\text{Ne}, xn)^{265-x}\text{I}_{05}$ с наибольшей вероятностью будут образовываться изотопы с массой 261 и 260, что соответствует испарению из составного ядра $^{265}\text{I}_{05}$ 4 или 5 нейтронов. Для определения массового числа изотопа необходимо иметь точные значения энергии связи испаряющихся нейтронов, т.к. сдвиг по энергии реакции 5n относительно 4n (см. рис. 4) составляет всего 4-5 Мэв. В далекой области $Z = 105$ массы ядер неизвестны

с высокой степенью точности, и это обстоятельство вносит неопределенность при идентификации массового числа изотопа. Из совокупности экспериментальных данных (положение максимумов функций возбуждения, ширина кривых, согласие с расчетными зависимостями и др.) нам кажется, что из двух возможных кандидатов $^{261}\text{I}_{05}$ и $^{260}\text{I}_{05}$ более вероятно, что спонтанное деление с $\tau_{1/2} \sim 2$ сек. относится к изотопу с массой 261. Выход изотопа в максимуме функции возбуждения соответствует сечению $(5 \pm 1,5) \cdot 10^{-34} \text{ см}^2$. Естественно, спонтанное деление может быть не единственным способом распада ядра $^{261}\text{I}_{05}$ и поэтому полное сечение реакции $^{243}\text{Am}(^{22}\text{Ne}, 4n)^{261}\text{I}_{05}$ может быть больше указанной величины.

ВВОДЫ:

Из экспериментальных данных, полученных в настоящей работе и приведенных ранее в работе [1], можно сделать следующие выводы:

1. При облучении ^{243}Am ионами ^{22}Ne наблюдено образование изотопа, испытывающего спонтанное деление с периодом полураспада $\tau_{1/2} = 2,2 \pm 0,5$ сек.

2. Новый излучатель является продуктом реакции, протекающей с образованием составного ядра и последующим испарением нейтронов. Это непосредственно следует из экспериментальной зависимости сечения образования от энергии ионов ^{22}Ne и данных по угловому распределению спонтанно делящегося изотопа, измеренному с помощью коллимационного метода.

3. Сечение образования изотопа в максимуме кривой возбуждения составляет $\sim 5 \cdot 10^{-34} \text{ см}^2$ для ветви спонтанного деления.

Следует отметить, что синтезированные ядра наряду со спонтанным делением могут испытывать и α -распад, поэтому парциаль-

ный период полурастворения относительно спонтанного деления может быть несколько больше.

Таким образом, все полученные данные являются дополнительным подтверждением выводов, ранее сделанных в работе [1], о том, что спонтанно делящийся излучатель с $T_{1/2} \sim 2$ сек. является изотопом I05 элемента.

Авторы благодарны В.А.Друину за ценные замечания, К.А.Гаврилову за приготовление мишеней; И.В.Колесову, В.М.Плотко и Ю.В. Полубояринову за большую помощь в наладке аппаратуры и в проведении опытов.

Выражаем благодарность группе эксплуатации ускорителя под руководством Б.А.Загера, а также Т.И.Рыбаковой, К.И.Меркиной и А.В.Сергеевой за большой труд по просмотру детекторов осколков деления.

Л И Т Е Р А Т У Р А :

1. Г.Н.Флеров, Ю.Ц.Оганесян, Ю.В.Лобанов, Ю.А.Лазарев, С.П.Третьякова
Препринт ОИИ Р7-4932, Дубна (1970)
2. В.А.Друин, Ю.В.Лобанов, Ю.П.Харитонов.
Препринт ОИИ Р7-4681, Дубна (1969)
3. Ю.Ц.Оганесян, Ю.В.Лобанов, С.П.Третьякова, Ю.А.Лазарев, И.В.Колесов,
К.А.Гаврилов, В.М.Плотко, Ю.В.Полубояринов. Препринт ОИИ Р7-4797,
Дубна (1969)
4. J.D.Jackson Can. J. Phys. 34, 767 (1956)
5. T.Sikkeland Arkiv för Fisik 36, 539 (1966)
(частное сообщение)
6. A. Ghiorso, T.Sikkeland, M.J.Nurmia Phys. Rev Lett 10, 401 (1962)
7. А.Капусцик, В.П.Перельгин, С.П.Третьякова, ПТЭ, 5, 72 (1964)
8. C.M.Lederer, A.M.Hofland, I.Perlmutter Table of Isotopes J.Wiley N.Y. (1967)
9. С.А.Карамян, Ю.Ц.Оганесян, Ю.Э.Пенионжекевич, Б.И.Пустыльник.
Я.Ф. 9, 715 (1969)
10. T.D.Thomas Phys. Rev. 116, 703 (1959)
- II. V.Viola, T.Sikkeland Phys. Rev. 128, 767 (1962)

Рукопись поступила в издательский отдел
8 мая 1970 года

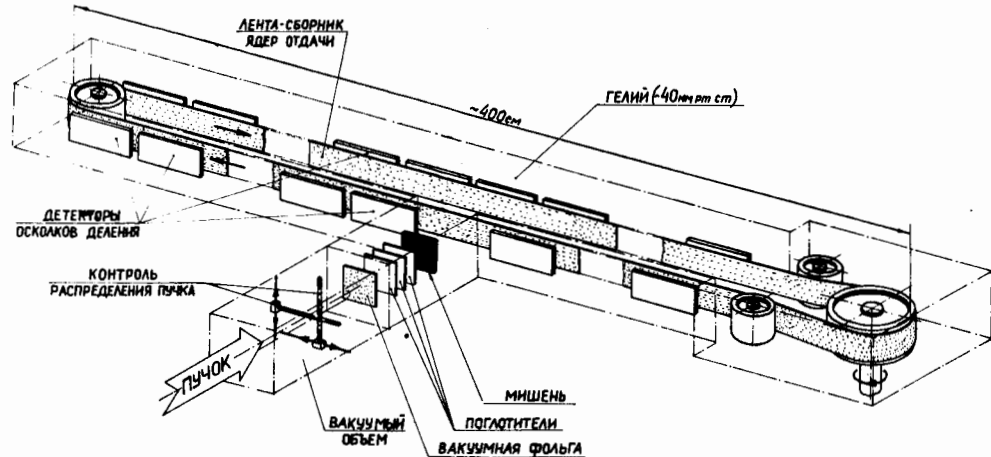


Рис.1.

Схема экспериментального устройства для регистрации короткоживущих излучателей спонтанного деления.

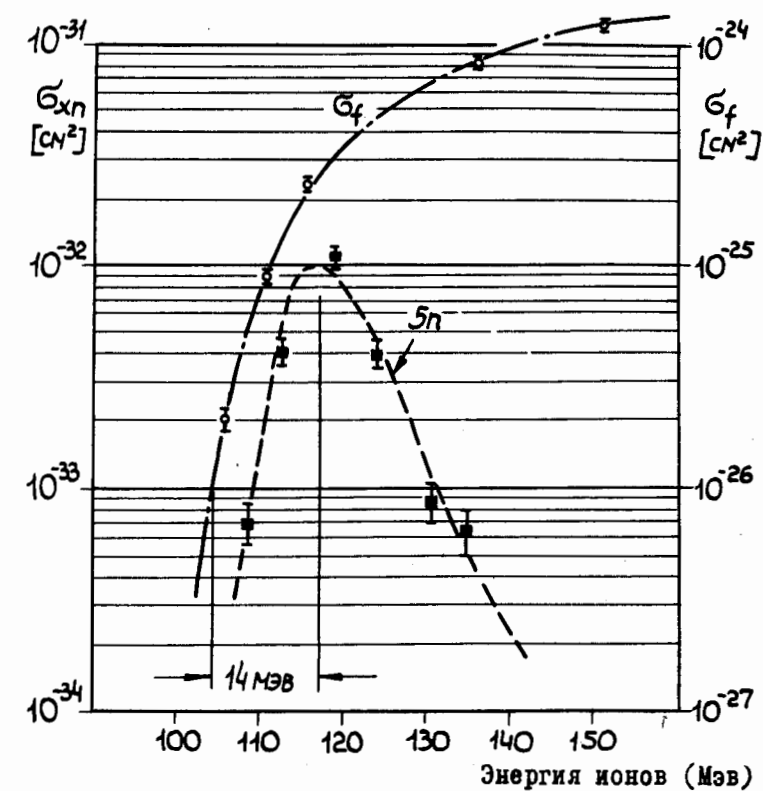


Рис.2.

Зависимость сечения образования изотопа $^{252}\text{I}02$ от энергии бомбардирующих ионов ^{22}Ne .

Пунктирная кривая - расчетная функция возбуждения реакции $^{235}\text{U} (^{22}\text{Ne}, 5n)^{252}\text{I}02$; черные квадраты - экспериментальные точки.

Штрих-пунктирная кривая (правая шкала) - расчетная зависимость сечения деления ^{235}U ионами ^{22}Ne ; открытые кружки - экспериментальные точки.

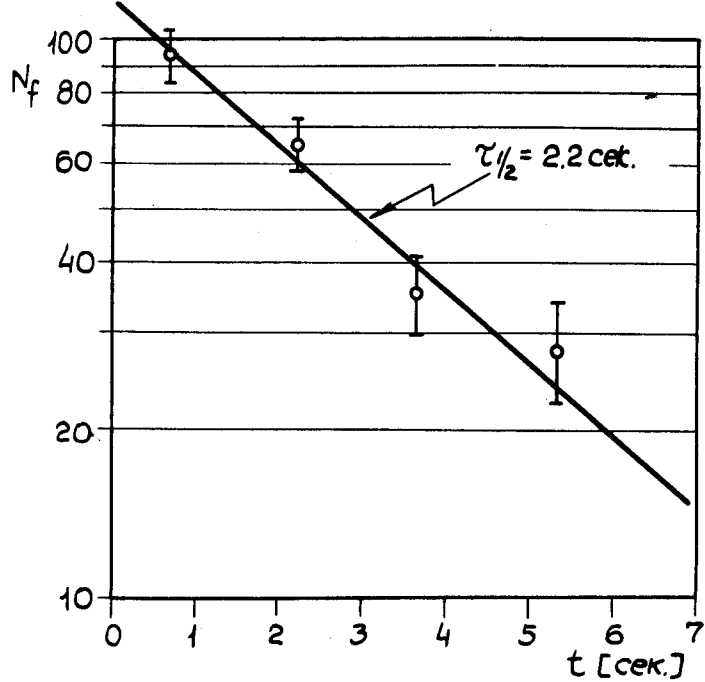


Рис.3.

Распределение по времени осколков спонтанного деления изотопа, образующегося при облучении ^{243}Am ионами ^{22}Ne .

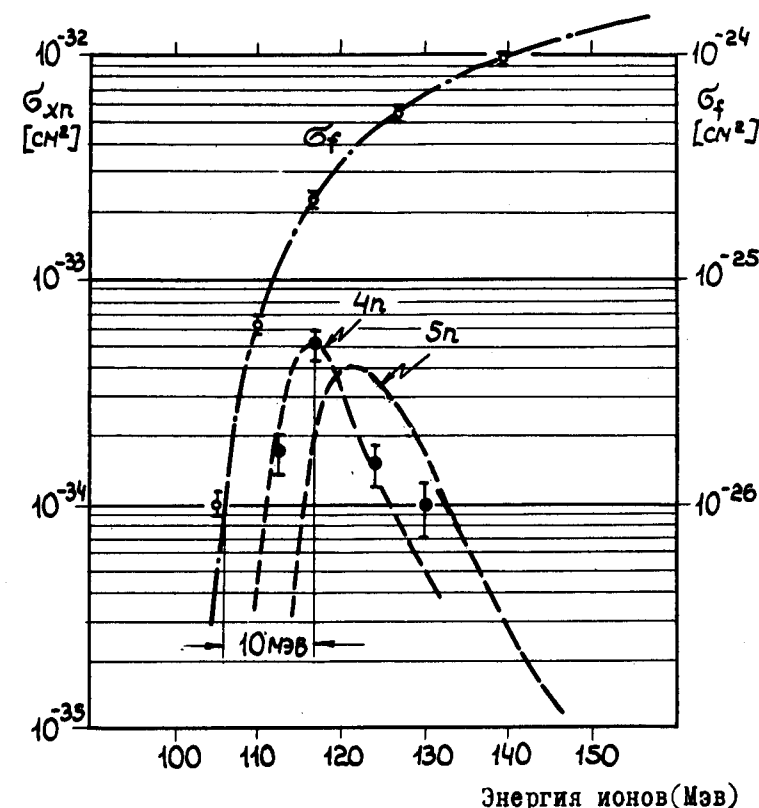


Рис.4.

Зависимость сечения образования спонтанно делящегося изотопа с $\tau_{1/2} \sim 2$ сек. от энергии ионов ^{22}Ne .

Пунктирные кривые - расчетные функции возбуждения реакций $^{243}\text{Am}(^{22}\text{Ne}, 4n)^{261}\text{I}_{05}$ и $^{243}\text{Am}(^{22}\text{Ne}, 5n)^{260}\text{I}_{05}$; черные точки - экспериментальные значения.

Штрих-пунктирная кривая (правая шкала) - расчетная зависимость сечения деления ^{243}Am ионами ^{22}Ne ; открытые кружки - экспериментальные точки.